

DOI:10.19651/j.cnki.emt.2415544

基于无人系统的智能视觉控制算法研究*

苏鹏鉴 马海琴 叶俊明
(桂林电子科技大学 北海 536000)

摘要: 无人系统应用范围的急剧扩大,使得视觉感知环境愈加复杂多变,致使传统视觉控制算法难以有效控制视觉传感器获取精准的视觉感知图像,从而影响无人系统的稳定运行,故提出基于无人系统的智能视觉控制算法研究。应用 Gamma 曲线非线性变换无人系统视觉感知图像灰度值,再应用灰度世界法来增强图像的对比度。以处理后的图像为基础,计算其图像矩,即空间矩、中心矩和归一化中心矩,以描述图像的全局和局部特性。根据得到的无人系统视觉感知信息,搭建智能视觉控制框架。获取期望图像特征矩阵,提取当前时刻图像特征矩阵,通过基于改进萤火虫算法的极限学习机对摄像机转角进行非线性映射,从而获取智能视觉控制定律,以此消除视觉感知图像误差,实现智能视觉的有效控制。实验结果显示:在不同实验组别背景下,应用提出算法获得的视觉控制平均时间最小值达到了 1 s,视觉控制平均误差最小值达到了 0.12%,充分证实了提出算法的应用性能更佳。

关键词: 视觉感知技术;无人系统;控制策略;视觉图像处理;视觉伺服控制;控制性能测试

中图分类号: TN919.82;TP274.2 **文献标识码:** A **国家标准学科分类代码:** 510.4050

Research on intelligent visual control algorithm based on unmanned systems

Su Pengjian Ma Haiqin Ye Junming
(Guilin University of Electronic Technology, Beihai 536000, China)

Abstract: The rapid expansion of the application range of unmanned systems makes the visual perception environment more complex and changeable, which makes it difficult for traditional visual control algorithms to effectively control visual sensors to obtain accurate visual perception images, thus affecting the stable operation of unmanned systems. Therefore, the research on intelligent visual control algorithms based on unmanned systems is proposed. The gray value of the visual perception image of unmanned system is transformed by Gamma curve nonlinear, and the contrast of the image is enhanced by the gray world method. Based on the processed image, the image moment is calculated, namely the space moment, the central moment and the normalized central moment, to describe the global and local characteristics of the image. According to the obtained visual perception information of the unmanned system, the intelligent visual control framework is built. Obtain the desired image feature matrix, extract the current moment image feature matrix, and nonlinear map the camera angle through the extreme learning machine based on the improved firefly algorithm, so as to obtain the intelligent vision control law, so as to eliminate the visual perception image error and realize the effective control of intelligent vision. The experimental results show that under the background of different experimental groups, the minimum average time of visual control obtained by the proposed algorithm reaches 1 s, and the minimum average error of visual control reaches 0.12%, which fully confirms the better application performance of the proposed algorithm.

Keywords: visual perception technology; unmanned systems; control strategy; visual image processing; visual servo control; control performance testing

0 引言

随着无人系统在航空、航海、农业及军事等领域的广泛

应用,其性能需求日益增长,传统控制算法已难以满足。智能视觉控制算法作为结合视觉感知与控制理论的先进方法,通过视觉传感器提取环境信息,指导无人系统实现精准

收稿日期:2024-02-28

* 基金项目:教育部产学研合作协同育人项目(231007535305419)资助

控制,展现出高灵活性和适应性^[1]。然而,随着应用场景的拓展和任务复杂性的增加,智能视觉控制算法面临诸多挑战,如复杂环境下的高精度感知和稳定控制、高效鲁棒性算法的设计,以及数据安全和隐私保护等问题^[2]。因此,深入研究智能视觉控制算法对于提升无人系统的感知、决策与控制能力,具有重要的理论意义和实践价值。

王媛等^[3]基于图像梯度场对视觉图像消影点进行精准提取,通过精度因子筛选出有效消影点,结合计算机视觉技术实现视觉的定位与控制。此种算法虽然能够有效地提高了视觉定位精度,但是视觉控制效果依然较差,无法满足现今社会对于视觉控制的需求。陈引娟等^[4]以铆接件装配需求为目标,引入几何特征设计了一种铆接件精确装配视觉伺服控制方法。应用相机搭建单目视觉系统,并对其进行标定处理,设定铆钉平面初始图像中的 4 个铆钉圆心作为特征点,利用交互矩阵制定铆接件姿态控制律与姿态补偿项,通过视觉伺服控制实现铆钉与相应铆钉孔轴线的重合。此种方法只适用于工业生产领域,适用范围较小。Zhou 等^[5]以球形电机转子姿态估计为目标,设计了一种基于多目标卡尔曼核相关滤波器的单目视觉控制算法。在永磁球形电机上配备单目区域扫描相机,利用多目标卡尔曼核相关滤波器对单目视觉图像进行相应的处理与分析,最终通过视觉控制实现球形电机转子姿态的估计。此种方法涉及硬件设备较多,会浪费较多的硬件设备调试时间,致使视觉控制效率较低。Jin 等^[6]以移动机器人作为研究对象,设计了一种基于图像的视觉伺服控制算法(image based visual servoing control, C-IBVS)。在经典视觉伺服控制问题深入分析的基础上,利用深度强化学习解决特征丢失的问题,通过 C-IBVS 控制器制定自适应律,调整控制器增益,从而实现视觉的伺服控制。此种算法在视觉图像处理上存在着较多的问题,例如效果差,效率低等,致使视觉伺服控制精度较差。

为了解决上述算法存在的问题,提出基于无人系统的智能视觉控制算法研究。针对无人系统视觉感知信息获取的问题,本研究将研究图像对比度增强技术和图像矩计算方法,以改善视觉感知图像的质量和提取图像中的关键信息。研究过程中的难点在于如何有效增强视觉感知图像的对比度,并精确计算图像矩,以准确描述目标形状和大小。为此,本文采用先进的图像增强算法和鲁棒的图像矩计算方法,确保在复杂环境下的准确性和鲁棒性。本次研究的创新之处在于,本文提出一种结合深度学习的视觉伺服控制框架,通过训练深度神经网络模型,实现对动态目标的精准识别和跟踪。这些方法的提出,主要依据对无人系统实际应用需求的深入理解和分析,旨在提高无人系统的视觉感知能力和控制精度。

1 无人系统视觉感知信息获取

1.1 视觉感知图像对比度增强

无人系统视觉感知技术在视觉控制过程中扮演着至关

重要的角色。无人系统需要通过视觉传感器捕捉环境图像,从中提取关键信息以支持视觉控制。然而,由于实际环境中光照条件的变化、摄像头质量等因素存在,获取的视觉感知图像可能会存在对比度不足的问题。低对比度的图像会导致细节信息丢失、目标识别困难,从而影响视觉控制的精度^[7]。因此,对视觉感知图像进行对比度增强处理是提升视觉控制性能的关键步骤。

视觉感知图像对比度增强旨在提高图像中不同物体之间的亮度差异,使图像更加清晰、细节更丰富。此研究应用 Gamma 曲线对无人系统视觉感知图像灰度值进行非线性变换,以此来提升视觉感知图像的整体质量^[8]。Gamma 曲线如图 1 所示。

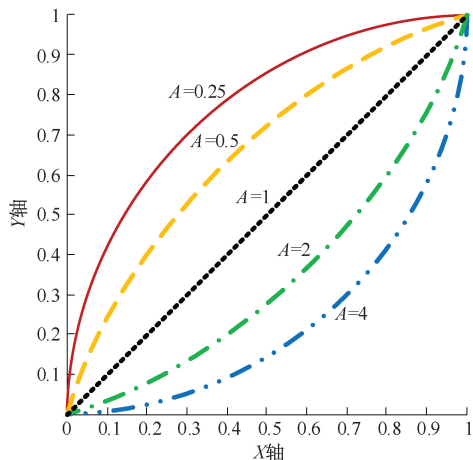


图 1 Gamma 曲线示意图

基于 Gamma 曲线(图 1)对视觉感知图像灰度值进行非线性变换,表达式为:

$$f_{out}(x, y) = \zeta \times [f_{in}(x, y)]^A \quad (1)$$

式中: $f_{in}(x, y)$ 与 $f_{out}(x, y)$ 表示的是非线性变换前、后的视觉感知图像灰度值; ζ 表示的是辅助常数,其取值范围为 $[0, 1]$; A 表示的是 Gamma 系数,取值为 0.25、0.5、1、2、4。

以上述 Gamma 变换后的视觉感知图像为基础,再应用灰度世界法对其进行进一步处理,最大限度地增强视觉感知图像的对比度^[9]。灰度世界法是一种简单而有效的方法,用于调整图像的对比度,使其更接近真实世界的视觉感知。灰度世界法基于一个假设:在一张平均的彩色图像中,所有颜色的平均值是灰色的。该假设意味着图像中红、绿、蓝(red green blue, RGB)3 个通道的平均值应该是相等的。因此,研究可以根据这个假设来调整每个通道的亮度,使它们达到平衡,从而增强图像的对比度^[10]。

基于灰度世界法的视觉感知图像对比度增强过程如下所示:

步骤 1) 确定目标灰度值

目标灰度值可以看作是视觉感知图像中红、绿、蓝 3 个通道的平均值,其可以通过遍历图像的所有像素并累加每个通道的值,然后除以像素总数来实现,表达式为:

$$\alpha(x, y) = \frac{\bar{f}_{out}^R(x, y) + \bar{f}_{out}^G(x, y) + \bar{f}_{out}^B(x, y)}{3} \quad (2)$$

式中: $\alpha(x, y)$ 表示的是目标灰度值; $\bar{f}_{out}^R(x, y)$ 、 $\bar{f}_{out}^G(x, y)$ 与 $\bar{f}_{out}^B(x, y)$ 表示的是视觉感知图像中红、绿、蓝 3 个通道的平均值。

步骤 2) 计算 RGB 3 个通道增益系数

以步骤 1) 确定目标灰度值为依据, 计算 RGB 3 个通道的增益系数^[11], 表达式为:

$$\begin{cases} \beta_R = \frac{\alpha(x, y)}{\bar{f}_{out}^R(x, y)} \\ \beta_G = \frac{\alpha(x, y)}{\bar{f}_{out}^G(x, y)} \\ \beta_B = \frac{\alpha(x, y)}{\bar{f}_{out}^B(x, y)} \end{cases} \quad (3)$$

式中: β_R 、 β_G 与 β_B 表示的是 RGB 3 个通道的增益系数。

步骤 3) 视觉感知图像 RGB 三通道分量数值调整

以步骤 2) 计算的增益系数为基础, 对视觉感知图像 RGB 三通道分量进行准确的调整^[12], 表达式为:

$$\begin{cases} f_{out}(R') = \beta_R \cdot f_{out}(R) \\ f_{out}(G') = \beta_G \cdot f_{out}(G) \\ f_{out}(B') = \beta_B \cdot f_{out}(B) \end{cases} \quad (4)$$

式中: $f_{out}(R)$ 、 $f_{out}(G)$ 与 $f_{out}(B)$ 表示的是调整前视觉感知图像 RGB 三通道分量; $f_{out}(R')$ 、 $f_{out}(G')$ 与 $f_{out}(B')$ 表示的是调整后视觉感知图像 RGB 三通道分量。

上述过程完成了无人系统视觉感知图像对比度的有效增强, 为了方便后续研究的进行, 将对比度增强后的无人系统视觉感知图像记为 $f(x, y)$, 为图像矩计算提供依据支撑。

在视觉感知图像对比度增强方面, 本文采用先进的图像增强算法, 相较于文献[3]中基于图像梯度场的消影点提取方法, 本文方法不仅关注消影点的提取, 更注重整体图像对比度的提升。本文方法不需要通过精度因子筛选消影点, 避免了潜在的误差, 从而实现整体控制效果的提高。通过优化算法, 本方法能够更全面地增强图像中的细节信息, 提高视觉感知的准确性和鲁棒性。

1.2 视觉感知图像矩计算

以上述对比度增强后的无人系统视觉感知图像为基础, 计算图像矩, 为视觉控制实现提供一定的便利。

在图像处理与分析中, 图像矩是一种重要的统计工具, 用于描述图像的形状、方向和分布特性。矩的计算对于机器视觉、模式识别以及图像质量评估等领域具有广泛的应用^[13]。图像矩是图像中像素强度值的加权和, 根据权重的不同, 可以分为空间矩、中心矩和归一化中心矩。空间矩描述的是图像的全局特性, 而中心矩和归一化中心矩则更多地关注图像的局部特性, 其具体定义与计算公式如下:

1) 视觉感知图像空间矩

空间矩定义为图像中像素强度值与其坐标的乘积的加

权和。空间矩可以用于计算图像的重心、面积、方向等, 其计算公式为:

$$\chi_1 = \sum_{x, y} [f(x, y) \cdot x^i \cdot y^j] \quad (5)$$

式中: χ_1 表示的是视觉感知图像空间矩; i 与 j 表示的是任意常数值。

2) 视觉感知图像中心矩

中心矩定义为图像中像素强度值与其相对于图像重心坐标的偏差的乘积的加权和。中心矩可以用来描述图像的形状和方向, 其计算公式为:

$$\chi_2 = \sum_{x, y} [f(x, y) \cdot (x - \bar{x})^i \cdot (y - \bar{y})^j] \quad (6)$$

式中: χ_2 表示的是视觉感知图像中心矩; (\bar{x}, \bar{y}) 表示的是视觉感知图像质心位置坐标。

3) 视觉感知图像归一化中心矩

归一化中心矩定义为中心矩的归一化形式, 可以消除图像尺度的影响, 使得不同尺度的图像具有相同的归一化中心矩, 其计算公式为:

$$\chi_3 = \frac{\chi_2}{\chi_0^{(i+j)/2+1}} \quad (7)$$

式中: χ_3 表示的是视觉感知图像归一化中心矩; χ_0 表示的是视觉感知图像的零阶空间矩。

上述过程完成了视觉感知图像矩计算, 为最终研究目标的实现提供助力。相比于传统的几何特征计算方法, 本文方法在图像矩计算上更为高效和准确, 能够更准确地捕捉图像中的关键特征, 从而提高视觉伺服控制的精度和效率, 为后续的视觉控制提供更可靠的依据。

2 基于视觉感知信息的智能视觉控制算法推出

2.1 智能视觉控制框架搭建

以上节获取的无人系统视觉感知信息——视觉感知图像矩 (χ_1, χ_2, χ_3) 为基础, 搭建智能视觉控制框架, 为视觉伺服控制实现提供支撑。

智能视觉控制框架如图 2 所示。如图 2 所示, 此研究根据图像矩提取图像特征矩阵, 计算其与期望图像特征矩阵之间的差值, 以此为基础, 获得最终的视觉伺服控制信号^[14]。与现有方法相比, 该框架不仅关注视觉定位与控制, 还注重整个系统的智能化和自主性。通过集成先进的传感器、处理器和控制算法, 该框架能够实现高度的自主性和智能化, 满足无人系统日益增长的性能需求。

2.2 视觉伺服控制实现

以上述搭建的智能视觉控制框架为依据, 获取期望图像特征矩阵, 提取当前时刻图像特征矩阵, 通过基于改进萤火虫算法的极限学习机对摄像机绕 X 轴与 Y 轴转角进行非线性映射, 从而获取最终智能视觉控制定律, 以此来消除视觉感知图像误差, 提高视觉伺服控制的精度^[15]。

设定期望图像特征矩阵为 S_D , 当前时刻图像特征矩阵为 S_t , 两者之间的差值为 E_t , 摄像机绕 X 轴与 Y 轴转角为

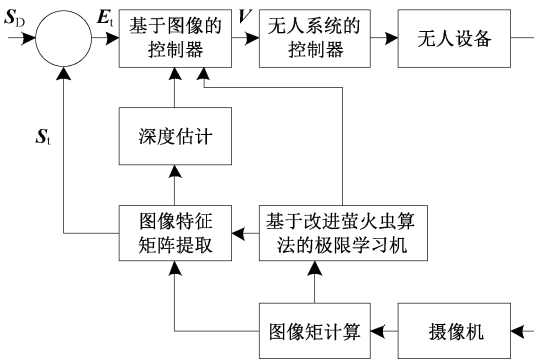


图 2 智能视觉控制框架图

ϕ 与 φ , 其非线性映射结果如下:

$$\begin{cases} \phi = f_{elm}(\mathbf{X}_1, \mathbf{X}_2, \mathbf{X}_3, \delta_\phi) \\ \varphi = f_{elm}(\mathbf{X}_1, \mathbf{X}_2, \mathbf{X}_3, \delta_\varphi) \end{cases} \quad (8)$$

式中: $f_{elm}(\cdot)$ 表示的是非线性映射函数; δ_ϕ 与 δ_φ 表示的是转角 ϕ 与 φ 的映射系数。

结合图像特征矩阵误差与转角的非线性映射结果, 确定智能视觉控制定律表达式为:

$$V = \frac{-\xi \cdot \hat{\psi}^{-1} \cdot E_t}{\arctan(\phi \cdot \varphi)} \quad (9)$$

式中: V 表示的是智能视觉控制定律, 即视觉伺服控制信号; ξ 表示的是误差收敛率; $\hat{\psi}$ 表示的是深度估计的图交互矩阵。

将式(9)结果输入至控制器中, 即可实现智能视觉的有效控制。与文献[5]中的基于多目标卡尔曼核相关滤波器的单目视觉控制算法相比, 本文方法通过优化控制算法和引入先进的机器学习技术, 能够更准确地识别环境信息, 实现高效且高精度地指导无人系统的运动和控制, 进而实现更高水平的视觉伺服控制。

3 应用性能测试

为了验证本文提出算法的应用性能, 选择在视觉定位与视觉伺服控制领域具有一定的代表性和可比性的两种算法, 即文献[3]中的基于连续图像消影点的视觉定位算法(对比算法 1)与文献[4]基于几何特征的铆接件精确装配视觉伺服控制算法(对比算法 2), 共同进行智能视觉控制实验。其中, 对比算法 1 通过图像梯度场对消影点进行精准提取, 虽然提高了视觉定位精度, 但在视觉控制效果上仍有不足, 无法满足复杂场景下的高性能要求。对比算法 2 应用场景相对局限, 且对于无人系统在其他领域的广泛应用缺乏适应性。而本文算法则通过智能视觉控制算法的优化, 在提升定位精度的同时, 更好地实现视觉控制, 且具有更广泛的适用性和更高的灵活性, 以满足现今社会对于高精度视觉控制的需求。将这三种算法共同进行对比, 能够更加全面评估本文所提算法在实际应用中的性能表现。

3.1 无人系统视觉传感器选型

无人系统视觉传感器负责捕捉环境信息, 为无人系统

提供导航、感知和决策支持, 选择合适的视觉传感器对于实验来说至关重要。视觉传感器选型考虑因素如下:

1)分辨率: 分辨率决定了相机捕捉图像的细节程度。根据无人系统视觉控制的需求, 选择适当的分辨率可以平衡图像质量和处理速度;

2)帧率: 帧率表示相机每秒捕捉的图像数量。高帧率对于动态场景和快速运动的物体检测至关重要;

3)视场角(field of view, FOV): 视场角决定了相机能够捕捉到的水平视野范围。根据无人系统的应用场景, 选择合适的视场角可以确保足够的视野覆盖;

4)光照适应性: 不同的视觉传感器对光照条件有不同的适应性。根据应用场景的光照条件, 选择适当类型的相机可以提高图像质量和感知性能;

5)功耗和体积: 在选择视觉传感器时, 需要考虑功耗和体积等因素, 以确保其适合无人系统的功耗和空间限制。

将上述因素考虑在内, 选取 RGB-D 相机作为实验的无人系统视觉传感器, 其有效结合了彩色图像和深度数据, 提供丰富的环境信息, 适用于需要高精度感知和复杂环境理解的场景。

3.2 实验组别划分

应用上述选择的 RGB-D 相机获取 1 000 幅视觉感知图像, 将其随机划分为 10 个实验组别, 具体划分情况如表 1 所示。划分的实验组别中视觉感知图像数量与平均对比度均不一致, 为实验提供了多种工况, 最大限度地提升实验结论的精准性。

表 1 实验组别划分

实验组别	视觉感知图像数量/幅	平均对比度
1	89	120 : 1
2	101	78 : 1
3	124	56 : 1
4	78	101 : 1
5	56	150 : 1
6	125	89 : 1
7	134	78 : 1
8	156	66 : 1
9	49	40 : 1
10	88	100 : 1

3.3 实验结果分析

以上述划分的实验组别为基础, 进行智能视觉控制实验, 通过视觉控制平均时间与平均误差来显示提出算法的应用性能, 这两个指标能够直观地反映算法在视觉控制过程中的效率和准确性。

其中, 视觉控制平均时间是指算法从接收到视觉传感器信息到完成控制指令输出所需的总时间。这一指标直接关联到无人系统的响应速度和实时性, 通过对比不同算法在相同实验条件下的视觉控制平均时间评估算法在效率方

面的优劣。而平均误差则是指算法在视觉控制过程中,实际输出与控制目标之间的偏差程度,通过对比不同算法在相同实验条件下的平均误差来评估算法在准确性方面的表现,以此直接反映算法的准确性和稳定性。

通过实验获得视觉控制平均时间如图3所示。由图3可知,在不同实验组别背景下,应用提出算法获得的视觉控制平均时间均小于对比算法1与对比算法2,其最小值达到了1 s。

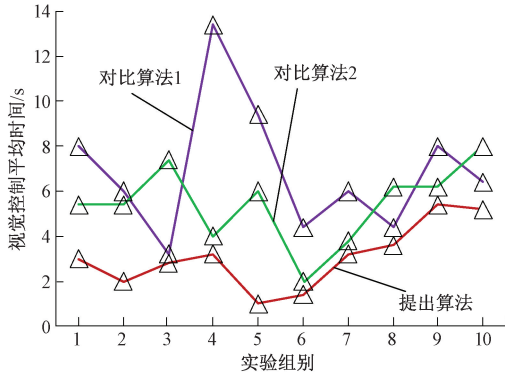


图3 视觉控制平均时间示意图

通过实验获得视觉控制平均误差如表2所示。由表2可知,在不同实验组别背景下,应用提出算法获得的视觉控制平均误差均小于对比算法1与对比算法2,其最小值达到了0.12%。提出算法视觉控制平均误差大幅度下降,主要是因为应用了无人系统视觉感知技术,通过搭载在无人设备上的摄像头等图像采集设备,获取环境的实时图像信息,利用图像处理算法对图像进行预处理、特征提取、目标识别等操作,从而实现对环境的精确感知,为视觉控制提供准确的信息支撑。

表2 视觉控制平均误差

实验组别	图像特征矩阵差值/%		
	提出算法	对比算法1	对比算法2
1	1.23	2.63	2.36
2	1.49	2.59	3.01
3	0.56	3.12	3.56
4	0.12	2.01	3.78
5	1.56	1.89	4.12
6	1.24	5.23	2.15
7	1.77	2.01	1.89
8	2.01	1.89	1.77
9	1.10	1.45	2.18
10	1.02	1.89	3.20

4 结 论

随着无人系统技术的深入发展,智能视觉控制算法作为其核心组成部分,正逐渐展现出其强大的潜力和广阔的

应用前景。通过对基于无人系统的智能视觉控制算法进行深入研究,不仅能够提升无人系统的环境感知能力,实现更精确的目标跟踪和自主导航,还能够优化无人系统的控制策略,提高其响应速度和稳定性。就现有研究成果来看,视觉控制性能较差,故提出基于无人系统的智能视觉控制算法研究。实验结果显示:提出算法有效缩短了视觉控制平均时间,降低了视觉控制平均误差,为视觉控制提供了更加有效的算法支撑。

参考文献

- [1] 张博. 基于决策树分类的视觉目标精准跟踪算法[J]. 探测与控制学报, 2022, 44(6):87-92.
- [2] 陈学深,方根杜,熊悦淞,等. 基于稻田除草部件横向偏距视觉感知的对行控制系统设计与试验[J]. 华南农业大学学报, 2022, 43(5):83-91.
- [3] 王媛,刘小晗,王文杉,等. 基于连续图像消影点的视觉定位算法研究[J]. 火力与指挥控制, 2022, 47(5):66-74.
- [4] 陈引娟,安广琳,杜亚江,等. 基于几何特征的铆接件精确装配视觉伺服控制方法[J]. 铁道科学与工程学报, 2023, 20(12):4744-4754.
- [5] ZHOU S, LI G L, WANG Q J, et al. Rotor attitude estimation for spherical motors using multiobject kalman KCF algorithm in monocular vision[J]. IEEE Transactions on Industrial Electronics, 2023, 70(1):265-275.
- [6] JIN Z H, WU J H, LIU A D, et al. Policy-based deep reinforcement learning for visual servoing control of mobile robots with visibility constraints[J]. IEEE Transactions on Industrial Electronics, 2022, 69(2):1898-1908.
- [7] 徐剑君,商亮,唐凤珍. 基于快速增量式视觉感知的类脑SLAM[J]. 信息与控制, 2022, 51(5):542-553.
- [8] 吕东超,李少波,蒲睿强,等. 旋翼无人机的双目视觉避障技术综述[J]. 电光与控制, 2023, 30(11):67-75.
- [9] 陈洋,李赢,华铁丹,等. 基于异构无人系统的水渠网络自主巡检路径规划[J]. 农业机械学报, 2023, 54(7):79-87, 155.
- [10] 邱志明,孟祥尧,马焱,等. 海上无人系统发展及关键技术研究[J]. 中国工程科学, 2023, 25(3):74-83.
- [11] 刘志昌. 高精度异形插件视觉定位与检测算法[J]. 计算机工程与设计, 2023, 44(9):2619-2625.
- [12] 多靖赞,赵龙,赵毅琳,等. 动态特征剔除的无人系统视觉/惯性导航方法[J]. 电子测量与仪器学报, 2023, 37(12):126-135.
- [13] 杨帅东,谌海云,许瑾,等. 利用深度卷积特征的无人机视觉跟踪[J]. 控制与决策, 2023, 38(9):2496-2504.
- [14] 王鹏,王丞博,张宝尚,等. 动载体环境视觉惯性自适应融合物体姿态测量算法[J]. 传感技术学报, 2023, 36(2):218-224.
- [15] 张耀,吴一全,陈慧娟. 基于深度学习的视觉同时定位与建图研究进展[J]. 仪器仪表学报, 2023, 44(7):214-241.

作者简介

苏鹏鉴,本科,实验师,主要研究方向为电子测量、视觉算法。

E-mail:276474229@qq.com

马海琴(通信作者),硕士,高级工程师,主要研究方向为通信与信息系统。

E-mail:1930830206@qq.com

叶俊明,硕士,高级实验师,主要研究方向为FPGA应用技术、智能传感器及其应用。

E-mail:392562442@qq.com